

## ヒト骨髄腫細胞株における副甲状腺ホルモン関連蛋白とそのレセプター発現の解析

大槻 剛巳, 紅林 淳一\*, 鎌尾 浩行\*\*, 谷本 大吾\*\*, 藤野 豊寿\*\*, 江原 瞳子\*\*, 森瀬 博子\*\*, 高橋 和子\*\*, 山田 治\*\*\*, 八幡 義人\*\*\*, 植木 純子

多発性骨髄腫に合併する高カルシウム血症の発生機転を検討する目的で、本学にて樹立された7系のヒト骨髄腫由来細胞株を用いて副甲状腺ホルモン関連蛋白(PTHrP)ならびにそのレセプターの発現を、逆転写ポリメラーゼチェーンリアクション(RT-PCR)にて検討した。その結果、7株中6株で、程度の差は存在するもののPTHrPの発現が認められ、3株ではレセプターの発現も認められた。また、両者の発現の度合は、PTHrP発現の強い細胞株ではレセプターの発現が無く、弱いか無い細胞株ではレセプター発現が強いという傾向が認められた。この結果は直接的に骨髄腫における高カルシウム血症の発生機序を説明するものではないが、種々の破骨細胞活性化因子とPTHrPとの相互作用を今後検討する上で基礎的所見となる。

(平成10年1月27日受理)

### Expression of Parathyroid Hormone-related Protein and Its Receptor in Human Myeloma Cell Lines

Takemi OTSUKI, Junichi KUREBAYASHI\*, Hiroyuki KAMAO\*\*, Daigo TANIMOTO\*\*, Toyohisa FUJINO\*\*, Mutsuko EHARA\*\*, Hiroko MORISE\*\*, Kazuko TAKAHASHI\*\*, Osamu YAMADA\*\*\*, Yoshihito YAWATA\*\*\*and Ayako UEKI

To analyze the mechanisms involved in hypercalcemia in multiple myeloma, the reverse transcriptase-polymerase chain reaction for parathyroid hormone-related protein (PTHrP) and its receptor (PTH/PTHrP-R) was performed using seven human myeloma cell lines established at Kawasaki Medical School. The expression of PTHrP was found in six out of seven lines and PTH/PTHrP-R was detected in three of these lines. In addition, although the lines which strongly expressed PTHrP showed less expression of PTH/PTHrP-R, low or negative lines for PTHrP expression exhibited controversial PTH/PTHrP-R expression. These results may contribute to the examination of the cell biological interactions between cytokines which

川崎医科大学 衛生学教室

〒701-0192 倉敷市松島577

\* 同 外科乳腺甲状腺部門

\*\* 同 第2学年学生

\*\*\* 同 内科血液部門

Department of Hygiene, Kawasaki Medical School: 577

Matsushima, Kurashiki, Okayama, 701-0192 Japan

Department of Breast and Thyroid Surgery

2nd year medical student

Division of Hematology, Department of Internal Medicine

possess an osteoclast-activating effect and PTHrP. (Accepted on January 27, 1998)  
*Kawasaki Igakkaishi 23(4): 227-234, 1997*

**Key Words** ① Myeloma ② PTHrP ③ PTH/PTHrP-R  
 ④ Hypercalcemia ⑤ RT-PCR

### 緒 言

多発性骨髄腫は多彩な症候を示す難治性の形質細胞由来悪性腫瘍であり、未だ致死的な疾患である。本症に合併する多彩な症状のひとつに高カルシウム(Ca)血症があり、骨病変である抜打ち像や骨髄腫自体の骨腫瘍形成に伴う骨破壊による局所性の溶骨性変化に伴う症候と考えられている<sup>1)-3)</sup>。また、近年では骨髄腫細胞より產生される破骨細胞活性化因子(osteoclast activating factor: OAF)の重要性が認められており、これにはInterleukin(IL)-1 $\beta$ , IL-1 $\alpha$ , TNF $\alpha$ , TNF $\beta$ , IL-6, IL-3, GM-CSF(granulocyte, macrophage-colony stimulating factor), G-CSF(granulocyte-colony stimulating factor)などがあると考えられている。

るが、その主体はIL-1 $\beta$ であると想定されている<sup>3), 4)</sup>。

一方、固形腫瘍に随伴する高Ca血症では、液性因子が重要視され、上記に挙げたOAFと相乗的あるいは相加的に作用する副甲状腺ホルモン関連蛋白(parathyroid hormone-related protein: PTHrP)が、悪性腫瘍の高Ca血症ではその成因の主体をなすと考えられるようになってきている<sup>5)-7)</sup>。

そこで多発性骨髄腫に合併する高Ca血症の場合にもPTHrPの関与を検討することが考慮され、いくつかの症例報告や関連を示唆する報告が、近年なされるようになってきた<sup>8)-14)</sup>。

我々も、多発性骨髄腫に合併する高Ca血症の発生機転を検討する目的で、本学樹立のヒト骨髄腫由来細胞株を用いてPTHrP発現の解析を行った。

Table 1. Characteristics of seven human myeloma cell lines established at Kawasaki Medical School

	KMM-1	KMS-11	KMS-12-PE	KMS-12-BM	KMS-18	KMS-20	KMS-21
<b>Case information</b>							
Age	62	67	64	58	63	44	
Sex	Male	Female	Female	Male	Female	Male	
Ig-type	BJP- $\lambda$	IgG- $\kappa$	Non-producing	IgA- $\lambda$ to BJP- $\lambda$	IgG- $\kappa$	IgD- $\lambda$	
Hyperammonemia	nt	nt	nt	+	-	+	
Hyperamylasemia	nt	nt	+	-	-	-	
<b>Line information</b>							
Culture tissue	Subcutaneous tumor	Pleural effusion	Pleural effusion	Bone marrow	Peripheral blood	Bone marrow	Bone marrow
Start of culture	10/23/80	9/11/87	11/13/87	1/5/88	5/22/96	6/13/97	8/8/97
EBNA	-	-	-	-	-	-	-
Mycoplasma	-	-	-	-	-	-	-
Doubling time (h)	29	36	62	56	72	96	72
Cloning efficiency (%)	-	-	-	-	nt	nt	nt
Chromosome	Hyperdiploid	Hyperdiploid t(4;14) (p16.3;q32.3)	Hypodiploid t(11;14) (q13;q32)	Hypodiploid t(11;14) (q13;q32)	Hypodiploid t(4;14) (p16.3;q32.3)	now examining	now examining
Ig production	$\lambda$	$\kappa$	-	-	$\lambda$	G- $\kappa$	D- $\lambda$
Amylase production	-	-	+	-	-	nt	nt
Other characteristics		FGFR3 overexpression and mutation	PRAD1 overexpression KMS-12-BM is less mature than KMS-12-PE		FGFR3 overexpression		

The abbreviations used in this Table are: nt, not tested; Ig, immunoglobulin; BJP, Bence-Jones protein; EBNA, Epstein-Barr virus nuclear antigen; FGFR, fibroblast growth factor receptor.

## 材料と方法

### 1. ヒト骨髓腫由来細胞株

細胞株は1982年より現在まで本学で樹立されたヒト骨髓腫由来細胞株7株(KMM-1, KMS-11, KMS-12-PE, KMS-12-BM, KMS-18, KMS-20およびKMS-21)を用いた<sup>15)~18)</sup>。これらは、いずれもIL-6非依存性に樹立された株で、RPMI1640培地に10%のウシ胎児血清とペニシリソ100μg/mlとストレプトマイシン100μg/mlを含むものを使用し、37°C、5%CO<sub>2</sub>孵卵器にて培養されている。なお、これらの一般的な細胞学的特徴をTable 1に示す。

### 2. ヒト乳癌由来細胞株

本学樹立の3株(KPL-1, KPL-3CおよびKPL-4)を含む7株(他4株はMDA-MB-231, MCF-7, T47DおよびSkBr 3である)を用いた<sup>19)~23)</sup>。乳癌は高Ca血症を合併する代表的な固形腫瘍であり、用いた細胞株のうちKPL-3CはPTHrPの産生とヌードマウス移植腫瘍内への石灰化を呈することが報告されている株である<sup>20)</sup>。これらの株も、上記の骨髓腫由来株と同様の条件で培養されているものを用いた。

### 3. ヒト非骨髓腫造血細胞由来悪性腫瘍株

非骨髓腫造血細胞由来悪性腫瘍の対照細胞株として、7株を用いた。すなわち、Epstein-Barr virusによって不死化したlymphoblastoid cell line 2株(KMS-9とKMS-15)、悪性リンパ腫由来株4株(SU-DHL-4, SU-DHL-5, SU-DHL-6およびRaji)、および前骨髓球性白血病由来株(HL60)である。培養条件は骨髓腫由来株と同様である。

### 4. RNAの抽出とcDNA合成

対数増殖期の各細胞株より細胞を集め、TRIzol<sup>TM</sup>(GIBCO BRL Life Technologies, Gaithersburg, MD, USA)を用いて、全RNAを抽出した<sup>24)</sup>。その後、1μgの全RNAとoligo(dT)<sub>18</sub>プライマー(最終濃度1μM)を12.5μlのdiethyl pirocarbonate(DEPC)処理蒸留水に溶解し、70°C 2分間処理の後氷冷した。

cDNAの合成は200単位のrecombinant MMLV(Molony-Murine Leukemia Virus) reverse transcriptase(Clontech Lab. Inc., Palo Alto, CA, USA)にて開始し、42°C 60分間処理後、94°C 5分間の加熱にて酵素の非活性化を行った。合成されたcDNAは最終的に100μlのDEPC処理蒸留水に溶解し、1μl(10ng全RNA相当)のcDNAを逆転写ポリメラーゼチェーンリアクション(reverse transcription-polymerase chain reaction: RT-PCR)に供した。

### 5. RT-PCR

$\beta$ -actin, PTHrPおよびPTHrPのレセプター(PTH/PTHrP-R)の各遺伝子をRT-PCR法にて增幅する目的で用いたプライマーセットの塩基配列を以下に示す。 $\beta$ -actin:F; 5'-TGACGGGGTCACCCACACTGTGCCAT-CTA-3', R; 5'-CTAGAACGATTGCG-GTGGACGATGGAGGG-3', PTHrP:F; 5'-TCTTCCTTCACCACATCTGATCB-3', R; 5'-TGTCCCTTGGAAAGGTCTCTGC-3', PTH/PTHrP-R:F; 5'-CCATTGTGCT-CAACTTCATCC-3', R; 5'-ATCTCAG-CTTGTACCTCGCC-3'. RT-PCRの反応は1μl(10ng全RNA相当)のcDNA、各プライマー200nM, 200μM deoxynucleotide triphosphate, 10mM Tris-HCV(pH8.8), 1.5( $\beta$ -actin)ないし2.5(PTHrPとPTH/PTHrP-R) mM MgCl<sub>2</sub>, 50mM KCL, 0.08% Nonident p40および1単位のrecombinant Thermus aquatics DNA polymerase(MBI Fermentas, Vilnius, Lithuania)を最終20μlに含有させて行った。94°C 4分間のinitial denaturation後に、denaturation(94°C 15秒間), annealing(60°C( $\beta$ -actin)ないし58°C(PTHrPとPTH/PTHrP-R)15秒間), extension(72°C 30秒間)の反応を25( $\beta$ -actin)ないし35(PTHrPとPTH/PTHrP-R)サイクル、DNA thermal cycler(PC 960G Microplate Gradient Thermal Cycler, Mortlake, Australia)にて行い、最終extension(72°C 5分間)にて反応を終了

した。RT-PCR の最終産物は 1.2% アガロースゲルにて電気泳動後、etidium bromide にて染色し、FAS-II UV-image analyzer (TOYOB CoLtd., Tokyo, Japan) にて可視化した。なお、RT-PCR のサイクル数は、各細胞株における PTHrP および PTH/PTHrP-R の相対的発現度 (relative expression level) を検討するために、目的の遺伝子が対数増殖的に增幅されるサイクル数を選択して行った。

#### 6. 相対的発現度の算定

上記で得られた RT-PCR 産物を Quantity One™ version 2.5 デジタルイメージ解析ソフト (PDI Inc., Huntington Station, NY, USA) を用いて検討した。PTHrP および PTH/PTHrP-R の RT-PCR 産物の量を同じ細胞株より増幅された  $\beta$ -actin の産物の量で除して (PTHrP/ $\beta$ -actin [A]) および PTH/PTHrP-R/ $\beta$ -actin [B])、各細胞株におけるそれぞれの遺伝子の相対的発現度とした。また、それぞれの遺伝子が各細胞株においてどのように発現されているかを検討するために上記 [A] より [B] を引いた値を算出した。

## 結 果

### 1. PTHrP の遺伝子発現

**Figure 1** に示すように、用いた細胞株における PTHrP の発現は、非骨髄腫造血細胞由来悪性細胞株群では、7 株中 SU-DHL-4, SU-DHL-5 および HL60 株にて非常に薄いバンドを検出するに留まり、乳癌由来細胞株 7 株では、SkBr<sub>3</sub> 株が非常に弱いバンドであった以外は明らかなバンドを検出でき、特に KPL-3C, MDA-MB-231, KPL-4 および KPL-1 では強く発現していた。これは KPL-3C 細胞がその PTHrP 産生を細胞株の特異的な細胞学的特徴としている点とも合致している。

これらの結果に対し、骨髄腫由来 7 細胞株では、KMS-11 と KMS-18 で、陽性乳癌細胞株に比べると、発現量は相対的に弱いと考えられるものの、中等度の発現を認め、その他、KMM-1 および KMS-21 で軽度、KMS-12-PE と KMS-20 では非常に弱いながらその発現を認めた。

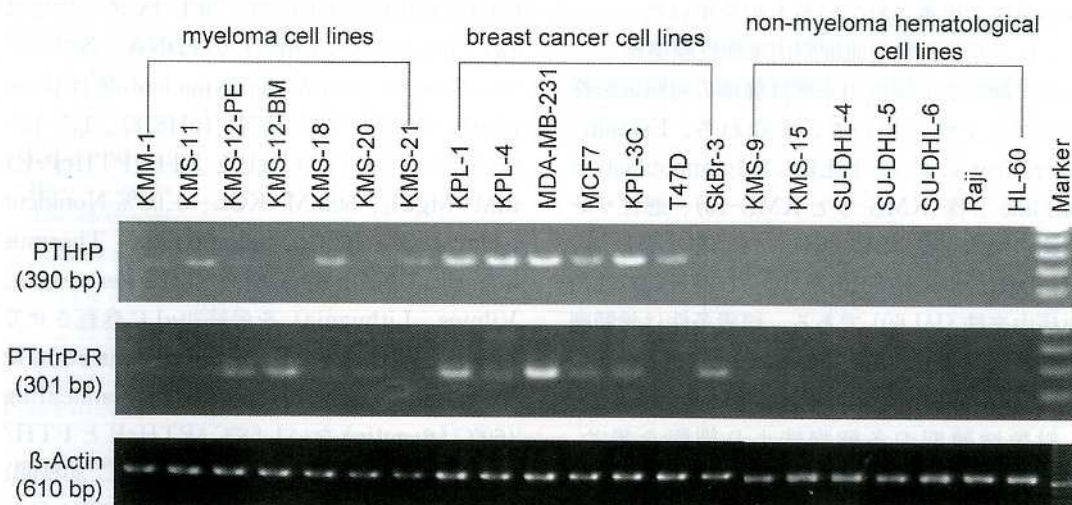


Fig. 1. RT-PCR products of PTHrP, POC/PTHrP-R, and  $\beta$ -actin from seven human myeloma cell lines, seven human breast cancer cell lines, and seven non-myeloma human hematological malignant cell lines were electrophoresed on 1.2% agarose gel and visualized by staining with etidium bromide. The expected size (base pairs) of each product is shown following the name of the gene.

## 2. PTH/PTHrP-R の遺伝子発現

**Figure 1** に示すように、用いた細胞株における PTH/PTHrP-R の発現は、非骨髓腫造血細胞由来悪性細胞株群では、KMS-15にて非常に薄いバンドの検出を認めた以外陰性であり、乳癌由来細胞株 7 株では、T47D 株が非常に薄いバンドであった以外は明らかなバンドの検出が可能であり、特に MDA-MB-231 および KPL-1 では強く発現していた。

一方、骨髓腫由来 7 細胞株では、KMS-12-BM で比較的強い発現を、また、KMS-12-PE, KMS-18 と KMS-20 では弱いながら充分量の発現を認めた。残る KMM-1 では検出できず、KMS-11 は非常に薄いバンドであった。

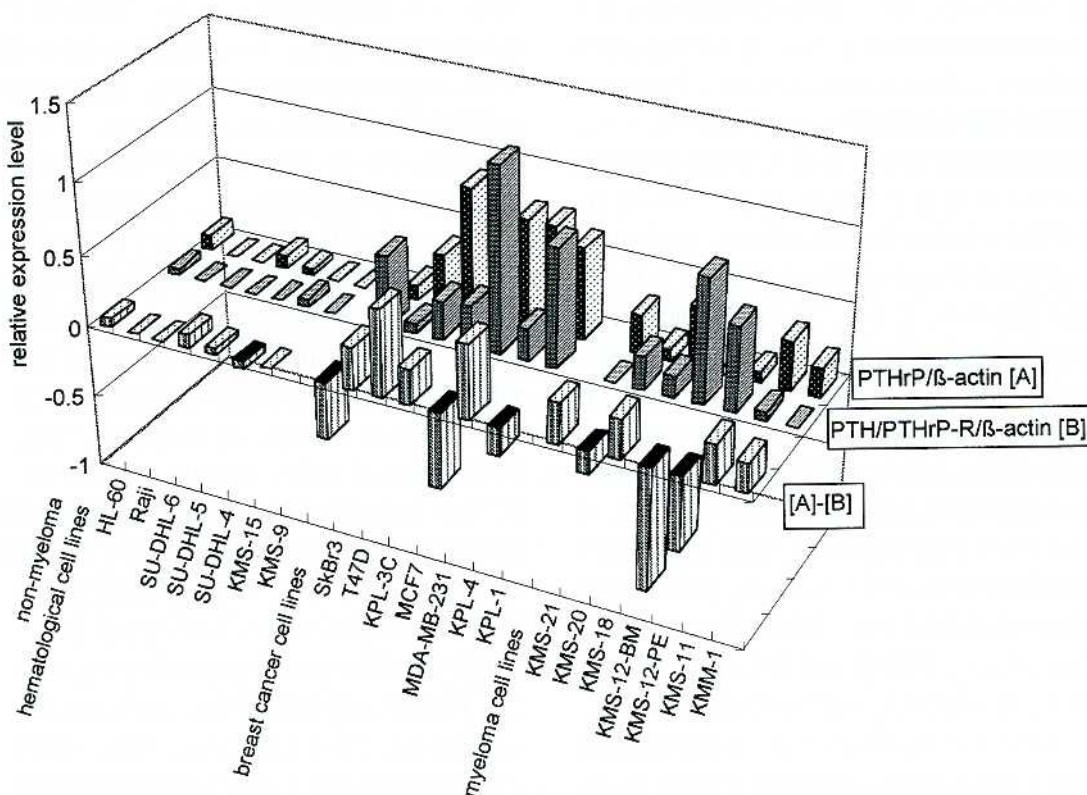
## 3. PTHrP および PTH/PTHrP-R の相対的発現度

**Table 2** に算定された各細胞株の PTHrP/ $\beta$ -actin [A] 比および PTH/PTHrP-R/ $\beta$ -actin

**Table 2.** The relative expression levels for PTHrP/ $\beta$ -actin (A), PTH/PTHrP-R/ $\beta$ -actin (B), and the balances between (A) and (B) in all cell lines studied.

relative expression level	myeloma cell lines							breast cancer cell lines							non-myeloma hematological cell lines						
	KMM-1	KMS-11	KMS-12-PE	KMS-12-BM	KMS-18	KMS-20	KMS-21	KPL-1	KPL-4	MDA-MB-231	MCF7	KPL-3C	T47D	SkBr3	KMS-9	KMS-15	SU-DHL-4	SU-DHL-5	SU-DHL-6	Raji	HL-60
PTHrP/ $\beta$ -actin (A)	0.20	0.33	0.07	0	0.41	0.08	0.27	0.63	0.74	0.74	0.55	0.66	0.36	0.10	0	0	0.04	0.09	0	0	0.11
PTH/PTHrP-R/ $\beta$ -actin (B)	0	0.06	0.58	0.85	0.14	0.23	0	0.82	0.22	1.27	0.29	0.27	0.07	0.50	0	0.05	0	0	0	0	0.05
[A]/[B]	0.20	0.27	-0.51	-0.85	0.27	-0.15	0.27	-0.19	0.52	-0.53	0.26	0.59	0.29	-0.40	0	-0.05	0.04	0.09	0	0	0.06

The abbreviations used in this Table are: PTHrP, parathyroid hormone related protein; PTH/PTHrP-R, parathyroid hormone/parathyroid hormone related protein-receptor.



**Fig. 2.** The relative expression levels of PTHrP/ $\beta$ -actin (A), PTH/PTHrP-R/ $\beta$ -actin (B), and a value of (A) minus (B) in each cell line were visualized.

[B] 比、並びに [A] から [B] を引いた値を示す。また、これらの値を総括的に見る目的で、Figure 2 に Table 1 の結果を図示した。骨髓腫細胞株のうち PTHrP の発現が比較的強かった KMM-1, KMS-11, KMS-18 および KMS-21 では、[A] - [B] の値はプラスになっており、逆にレセプターの発現が比較的強かった残る 3 株 (KMS-12-PE, KMS-12-BM および KMS-20) ではマイナスであった。この傾向は乳癌由来細胞株 7 株でも認められ、レセプターの相対的発現度が 0.5 を越えていた、すなわちレセプター発現が比較的強かった 3 株 (KPL-1, MDA-MB-231 および SkBr 3) では、[A] - [B] の値はマイナスであった。

## 考 察

近年、PTHrP は悪性腫瘍の高 Ca 血症の発生要因の中心的役割を担っていると考えられるようになった。特に、乳癌・頭頸部や肺の扁平上皮癌・腎癌・卵巣癌等では、高 Ca 血症の合併が高頻度に起ることが知られており、PTHrP の役割にも種々の検討がなされている<sup>5)~7)</sup>。一方、造血器腫瘍においては成人 T 細胞性白血病 (ATL) に合併する高 Ca 血症については、PTHrP の増加がその本体と考えら、症例血清中の高 PTHrP 血症や実験的な検討も、多数の報告がある<sup>25)~27)</sup>。しかし、多発性骨髓腫における PTHrP の関与に関しては、それほど多くの検討がなされていないのが現状である。これは、骨髓腫細胞や腫瘍細胞が局在する骨髄の stromal cell が産生する種々の OAF と、抜打ち像で知られる骨破壊が基本的にはその主体を成していることによると思われるが<sup>1)~4)</sup>、臨床上、打ち抜き像の変化が乏しいにもかかわらず、高 Ca 血症の増悪が起る場合もあり、多発性骨髓腫での高 Ca 血症において PTHrP は従来考えられているよりも、大きな影響を与えている可能性がある。

本邦における症例報告では、多発性骨髓腫に合併した高 Ca 血症の症例に高 PTHrP 血症が認められたものや<sup>8)~10)</sup>、60 例の多発性骨髓腫の検

討で、26 例に高 Ca 血症が認められそのうち 27% に高 PTHrP 血症が認められたとの報告がある<sup>11)</sup>。これらの報告では、骨髓腫細胞での PTHrP の発現を、免疫組織化学的あるいは RT-PCR 法にて確認している。また、海外でも同様の報告が散見される<sup>12), 13)</sup>。加えて、細胞株を用いた検討では、6 株を用いて RT-PCR 法にて全株で検出可能であったとの報告もあり<sup>14)</sup>、これらは多発性骨髓腫における PTHrP の関与を示唆するものである。

我々の結果では、7 株中 6 株に発現が認められ、うち 2 株 (KMS-11 と KMS-18) では、乳癌由来細胞株に匹敵する程度の発現であった。また、興味深いことに、PTH/PTHrP-R の発現は、PTHrP の発現の無かった 1 株 (KMS-12-BM) に最も強く、PTHrP 発現の比較的弱い細胞株群 (KMS-12-PE と KMS-20) で、それに次ぐ発現を認めた。このことは、相対的発現比の解析の結果からも想定され、PTHrP を主に発現している細胞株群とレセプター発現がより強い群に分けられた。この PTHrP とそのレセプターの逆相関的な発現の傾向は、乳癌細胞株の相対的発現度の結果からも観察され、レセプター発現の強い株では、相対的 PTHrP 発現が減弱している傾向が伺われた。この現象の持つ細胞生物学的な意味付けは現時点では不明なるも、腫瘍細胞の產生する PTHrP は自己の細胞のレセプターの発現を抑制しているような機構も存在するのかも知れない。いずれにしても骨髓腫細胞での PTH/PTHrP-R の発現は、これまで報告されていないものであり、今後、PTHrP 発現株 (例えば KMS-11) と PTH/PTHrP-R 発現株 (例えば KMS-12-BM) の細胞生物学的差異を OAF 等のサイトカインに関連して明確にすることは、多発性骨髓腫における高 Ca 血症の解明に役立つものと思われる。

生体内では種々の OAF 活性を持つサイトカインと PTHrP は相互作用を有しながらそれぞれの活性を表していると想定され、今後、今回用いた細胞株群におけるこれらの相互作用を解明することが、実際の多発性骨髓腫の症例におけ

る高Ca血症の発生機転を明らかにする一助となると考えられる。

本研究の一部は平成9年度2学年Self-Derived

Learningにおける授業・実習の一環として行われ、また、本研究の一部は、「1996年度佐川がん研究助成」ならびに川崎医科大学プロジェクト研究費(No.9-310)の援助によって行われたものである。

## 文 献

- 1) Cherng NC, Asal NR, Kuebler JP, Lee ET, Solanki D : Prognostic factors in multiple myeloma. *Cancer* 67 : 3150-3156, 1991
- 2) Bataille R, Chappard D, Klein B : Mechanisms of bone lesions in multiple myeloma. *Hematol Oncol Clin North Am* 6 : 285-295, 1992
- 3) 梅田正法, 高田雅史, 津布久雅彦:免疫グロブリン異常症の主要症候の病態と対策. 1. 骨病変. 日内誌 84 : 1070-1074, 1995
- 4) 高橋隆幸:多発性骨髓腫. 主要症候と対策. 高カルシウム血症. 日本臨床 53 : 710-714, 1995
- 5) Moseley JM, Gillespie MT : Parathyroid hormone-related protein. *Crit Rev Clin Lab Sci* 32 : 299-343, 1995
- 6) Mundy GR : Incidence and pathophysiology of hypercalcemia. *Calcif Tissue Int* 46 : S3-S10, 1990
- 7) Rosol TJ, Capen CC : Mechanisms of cancer-induced hypercalcemia. *Lab Invest* 67 : 680-702, 1992
- 8) 森田三雄, 田尻淳一, 野口志郎, 村上 司, 村上信夫, 片上秀喜, 松倉 茂:高カルシウム血症で発見され, 血中のPTHrP様免疫活性が高値を示した多発性骨髓腫の一例. 日内分泌誌 66 : 913, 1990
- 9) 金重勝博, 若杉正清, 遠藤登代志, 多和田真人, 女屋敏正:血中PTHrPが高値を示した多発性骨髓腫の一例. 日骨代謝誌 10 : 311, 1992
- 10) Kuribayashi H, Kubota K, Tamura K, Take H, Shirakura T : Ultrastructure of myeloma cells producing parathyroid hormone-related peptide. *Clin Lab Haem* 19 : 153-154, 1997
- 11) 片上秀喜, 山口一成, 日高博之, 井口東郎, 小鶴三男, 田村和夫, 野口史郎, 高橋隆幸, 長村義之, 松倉 茂:多発性骨髓腫(MM)におけるPTH関連蛋白質(PTHrP)の产生について. 日癌学会総会記事 284, 1992
- 12) Kremer R, Shustik C, Tabak T, Papavasiliou V, Goltzman-D : Parathyroid-hormone-related peptide in hematologic malignancies. *Am J Med* 100 : 406-411, 1996
- 13) Firkin F, Seymour JF, Watson AM, Grill V, Martin TJ : Parathyroid hormone-related protein in hypercalcaemia associated with haematological malignancy. *Br J Haematol* 94 : 486-492, 1996
- 14) Suzuki A, Takahashi T, Okuno Y, Tsuyuoka R, Sasaki Y, Fukumoto M, Katakami H, Kita K, Shibuya T : Production of parathyroid hormone-related protein by cultured human myeloma cells. *Am J Hematol* 45 : 88-90, 1994
- 15) 大槻剛巳, 八幡義人, 難波正義:5系のヒト骨髓腫細胞株の樹立とその細胞学的特性. *Human Cell* 2 : 297-303, 1989
- 16) Otsuki T, Yawata Y, Wada H, Sugihara T, Mori M, Namba M : Two human myeloma cell lines, amylase-producing KMS-12-PE and amylase-non-producing KMS-12-BM, were established from a patient, having the same chromosome marker, t (11;14) (q13;q32). *Br J Haematol* 73 : 199-204, 1989
- 17) Shirato L, Otsuki T, Yamada O, Namba M, Nakajima H, Nozawa Y, Ueki A, Yawata Y : Down regulation of protein kinase C during growth enhancement induced by interleukin-6 on a human myeloma cell line, KMS-11. *Cancer Lett* 107 : 131-136, 1996
- 18) Otsuki T, Nakazawa N, Taniwaki M, Yamada O, Sakaguchi H, Wada H, Yawata Y, Ueki A : Establishment of a new human myeloma cell lines, KMS-18, having t (4;14) (p16.3;q32.3)

- derived from a case who phenotypically transformed from Ig A-λ to BJP-λ, and associated with hyperammonemia. *Int J Oncol* 12 : 545-552, 1998
- 19) Kurebayashi J, Kurosumi M, Sonoo H : A new human breast cancer cell line, KPL-1 secretes tumour-associated antigens and grows rapidly in female athymic nude mice. *Br J Cancer* 71 : 845-853, 1995
- 20) Kurebayashi J, Kurosumi M, Sonoo H : A new human breast cancer cell line, KPL-3C, secretes parathyroid hormone-related protein and produces tumours associated with microcalcifications in nude mice. *Br J Cancer* 74 : 200-207, 1996
- 21) Kurebayashi J, Tang CP, Kurosumi M, Sonoo H : Establishment of a new human breast cancer cell line, KPL-4, overexpressing three member of ErbB family. *Proc AACR* 38 : 236, 1997
- 22) Wang X, Themsen JS, Santostefano M, Rosengren R, Safe S, Perdew GH : Comparative properties of the nuclear aryl hydrocarbon (Ah) receptor complex from several human cell lines. *Eur J Pharmacol* 293 : 191-205, 1995
- 23) Daly JM, Jannet CB, Beerli RR, Graus-Porta D, Maurer FG, Hynes NE : Neu differentiation factor induces ErbB 2 down-regulation and apoptosis of ErbB 2-overexpressing breast tumor cells. *Cancer Res* 57 : 3804-3811, 1997
- 24) Otsuki T, Yano T, Clark HM, Bastard C, Kerckaert JP, Jaffe ES, Raffeld M : Analysis of LAZ 3 (BCL-6) status in B-cell non-Hodgkin's lymphomas : Results of rearrangement and gene expression studies and a mutational analysis of coding region sequences. *Blood* 85 : 2877-2884, 1995
- 25) Prager D, Rosenblatt JD, Ejima E : Hypercalcemia, parathyroid hormone-related protein expression and human T-cell leukemia virus infection. *Leuk Lymphoma* 14 : 395-400, 1994
- 26) Yamaguchi K, Kiyokawa T, Watanabe T, Idetta T, Asayama K, Mochizuki M, Blank A, Takatsuki K : Increased serum levels of C-terminal parathyroid hormone-related protein in different diseases associated with HTLV-2 infection. *Leukemia* 8 : 1708-1711, 1994
- 27) Ikeda K, Okazaki R, Inoue D, Ohno H, Ogata E, Matsumoto T : Interleukin-2 increases production and secretion of parathyroid hormone-related peptide by human T cell leukemia virus type I-infected T cells : Possible role in hypercalcemia associated with adult T cell leukemia. *Endocrinol* 132 : 2551-2556, 1993